

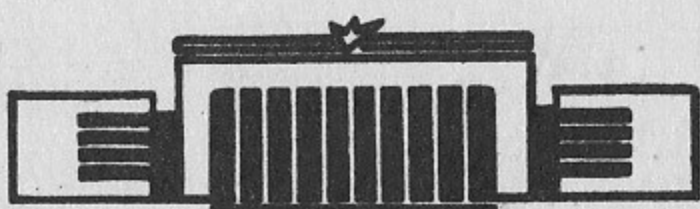


ИНСТИТУТ ЯДЕРНОЙ ФИЗИКИ  
СО АН СССР

Г.И.Гах, Э.А.Кураев, В.С.Панин

ОЦЕНКИ СЕЧЕНИЙ ПРОЦЕССОВ ВО  
ВСТРЕЧНЫХ  $e^+e^-$  ПУЧКАХ С УЧАСТИ-  
ЕМ ТЯЖЕЛОГО ЭЛЕКТРОНА

ПРЕПРИНТ 81 - 21



Новосибирск

Наряду с традиционной постановкой вопроса о границах применимости квантовой электродинамики (QED) на малых расстояниях возможна ее проверка с точки зрения характера взаимодействия лептонов с фотонами. Лоу [1], в частности, предложил гипотезу о существовании тяжелого (возбужденного) электрона (Т.Э.), взаимодействующего с обычным следующим образом:

$$\mathcal{H} = \frac{e\lambda}{2M} \bar{u}_e(p_1) [\hat{q}\hat{e} - \hat{e}\hat{q}] u(p_2), q = p_2 - p_1. \quad (I)$$

Это взаимодействие не является ни минимальным, ни перенормируемым, но может быть низкоэнергетическим проявлением некоторого более общего (уже перенормируемого) взаимодействия.

Здесь мы приведем результаты расчетов сечений некоторых процессов с участием Т.Э., необходимых для получения информации о величине константы связи  $\lambda$  из экспериментальных данных.

Рассмотрим сначала процесс образования Т.Э. при  $e^+e^-$  столкновении. Соответствующие диаграммы приведены на рис. I.

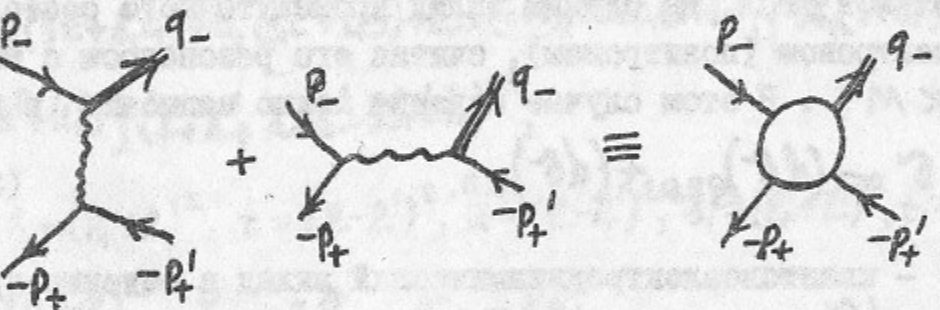


Рис.I.

Просуммированный по спиновым состояниям всех частиц квадрат модуля матричного элемента имеет вид:

$$\sum_{cm} |M|^2 = 16 \frac{e^4 \lambda^2}{M^2} \left( -\frac{s+t}{2st} \right) (s^2 + t^2 + u^2)$$

где

$$s = (p_+ + p_-)^2, t = (p_+ - p'_+)^2, u = (p_- - p'_-)^2, p_+ + p_- = q_- + p'_+, q_-^2 = M^2, p_\pm^2 = p'_\pm^2 = m_e^2.$$

Здесь и далее мы пренебрегаем членами  $\sim m_e^2/\lambda$  по сравнению с единицей, а массу тяжелого электрона считаем порядка энергии начальных частиц,  $M \gg m_e$ .

Для сечения процесса имеем

$$\begin{aligned} d\sigma = & \frac{1}{2\lambda} \frac{1}{2\cdot 2} \sum_{\text{сп}} |M|^2 \frac{(2\pi)^6}{(2\pi)^6} \frac{d^3 q_+ d^3 p'_+}{2\varepsilon - 2\varepsilon_+} \delta^{(4)}(p_+ + p_- - p'_+ - p'_-) = \\ & = \frac{\alpha^2 \lambda^2}{2\lambda M^2} \left( -\frac{s+t}{st} \right) (s+t^2+u^2) \left( 1 - \frac{M^2}{s} \right) d\Omega_+ = \\ & = \frac{\alpha^2 \lambda^2}{M^2} \left[ \frac{1}{s-c} - \frac{1}{2} - \frac{y^2}{4} (1+c^2) + \frac{y^2(1+c^2)}{2(1-c)} \right] d\Omega_+, \end{aligned} \quad (2)$$

$$\text{где } y = 1 - \frac{M^2}{s}, c = \cos(\hat{p}_+, \hat{p}'_+).$$

Рассмотрим теперь процесс тормозного излучения при  $e^+e^-$  рассеянии на большой угол. Мы оценим вклад промежуточного состояния с тяжелым электроном (позитроном), считая его резонансом с малой шириной  $\Gamma \ll M$ . В этом случае сечение можно записать в виде

$$d\sigma = (d\sigma)_{QED} + (d\sigma)_{T.E.} \quad (3)$$

где  $d\sigma_{QED}$  - квантовоэлектродинамический вклад в сечение процесса [2],  $d\sigma_{T.E.}$  - вклад диаграмм (см.рис.2) с участием тяжелого электрона. В рассматриваемом нами приближении (вблизи резонанса  $e_+^*$ ) интерференция амплитуды рис.2 с  $QED$ -амплитудой отсутствует (с точностью до членов  $\sim \lambda^4$  по сравнению с  $\sim \lambda^2$ ), поскольку первая является почти мнимой и вторая реальна.

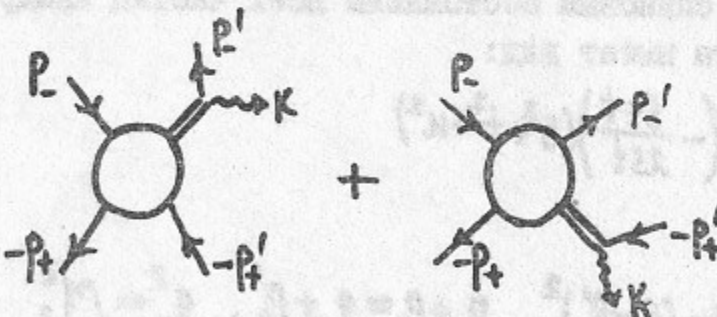


Рис.2.

Интерференционный вклад амплитуд рис.2 также отсутствует из-за различного положения резонансов

$$\begin{aligned} d\sigma_{T.E.} &= d\sigma_+ + d\sigma_-, \\ d\sigma_- &= \frac{d}{\pi} \frac{\Gamma_0^2}{(2\chi'_- - M^2)^2 + M^2 \Gamma_0^2} \frac{s^2 + u^2 + t^2}{(-st M^2)} \frac{(s+t_1 + u_1(1 - \frac{2\chi'_-}{M^2})) \chi'_-}{M^2} dv_+ dv_- dp_- \cos\psi_- d\psi_-, \\ d\sigma_+ &= \frac{d}{\pi} \frac{\Gamma_0^2}{(2\chi'_+ - M^2)^2 + M^2 \Gamma_0^2} \frac{s^2 + u^2 + t^2}{(-st M^2)} \frac{(s+t + u(1 - \frac{2\chi'_+}{M^2})) \chi'_+}{M^2} dv_+ dv_- dp_+ \cos\psi_+ d\psi_+, \end{aligned} \quad (4)$$

где  $\Gamma_0 = \omega \lambda^2 M / 2$  - ширина резонансного состояния Т.Э. в его системе покоя [3],  $\chi'_\pm = k P_\pm$ ,  $\psi$  - угол между осью пучков и плоскостью конечных частиц,  $\varphi$  - азимутальный угол в этой плоскости,  $y_\pm = \varepsilon_\pm^2 / \varepsilon$  - доли энергий конечных электрона и позитрона.

Приведем для полноты сечение процесса, рассчитанного в рамках  $QED$ : [2]

$$\begin{aligned} d\sigma_{QED} &= \frac{\alpha^2 \Gamma}{32\pi} dv_+ dv_- d\varphi \cos\psi_- d\psi_+, \\ \Gamma &= \{U(s+t+3t_1) + U_1(s_1 t + t_1 s) + 2s_1(t+t_1) + 2t_1(s+s_1)\} \{3s_1(s^2 + s_1^2) + t_1 t_1(t^2 + t_1^2) + \\ &+ 4U_1(u^2 + u_1^2)\} (\chi_+ \chi'_+ \chi_- \chi'_- - 3s_1 t_1)^{-1}, \end{aligned} \quad (5)$$

$$\begin{aligned} \text{где } s &= (p_+ + p_-)^2, t = (p_- - p'_-)^2, U = (p_- - p'_-)^2, s_1 = (p'_+ + p'_-)^2, t_1 = (p_+ - p'_+)^2, \\ U_1 &= (p_+ - p'_+)^2, \chi_\pm = k P_\pm, \chi'_\pm = k P'_\pm. \end{aligned}$$

Предполагая резонанс узким  $\Gamma_0 \ll M \sim \varepsilon$  проведем усреднение сечения в окрестности резонанса

$$\begin{aligned} \overline{d\sigma_-} &= \frac{\alpha^2 \lambda^2}{2\lambda M^2} (s+t) \frac{s^2 + u^2 + t^2}{(-st)} dv_- d\Omega \Big|_{y_t = 1 - \frac{M^2}{s}}, \\ \overline{d\sigma_+} &= \frac{\alpha^2 \lambda^2}{2\lambda M^2} (s+t_1) \frac{s^2 + u^2 + t_1^2}{(-st_1)} dv_+ d\Omega \Big|_{y_t = 1 - \frac{M^2}{s}}, \\ s &= 4\varepsilon^2, t = -2\varepsilon^2 y_- (1 - \cos(\hat{p}_- \hat{p}'_-)), t_1 = -2\varepsilon^2 y_+ (1 + \cos(\hat{p}_+ \hat{p}'_+)), \\ U &= -2\varepsilon^2 y_+ (1 - \cos(\hat{p}_+ \hat{p}'_+)), U_1 = -2\varepsilon^2 y_- (1 + \cos(\hat{p}_- \hat{p}'_-)). \end{aligned} \quad (6)$$

Отметим, что вклад в сечение  $e^+e^- \rightarrow e^+e^-\gamma$  от Т.Э. (6) совпадает с сечением двухступенчатого процесса: образования  $e^{\pm}\gamma$  в процессе  $e^+e^- \rightarrow e^{\pm}e^{\mp}$  в соответствии с (2) и затем изотропным в своей системе покоя распадом  $e^{\pm} \rightarrow e^{\pm}\gamma$ .

Ниже мы приведем сечения процессов  $\gamma e \rightarrow \gamma e$ ,  $e^+e^- \rightarrow \gamma\gamma$  [3],  $\gamma\gamma \rightarrow e^+e^-$  с учетом интерференции QED -амплитуд с амплитудами отвечающими промежуточному состоянию с Т.Э., предполагая отсутствие резонансных эффектов и считая малой константу взаимодействия Т.Э.  $\lambda \ll 1$ :

$$\frac{d\sigma_{\gamma e \rightarrow \gamma e}}{d\Omega_\gamma} = \frac{\alpha^2}{23} \left\{ \frac{\chi_1}{\chi_2} + \frac{\chi_2}{\chi_1} + 2\left(\frac{\lambda}{M}\right) \left[ \frac{\chi_1^2}{\chi_1 - M^2} - \frac{\chi_2^2}{\chi_2 + M^2} \right] \right\}, \quad (7)$$

где  $p_1 + q_1 = p_2 + q_2$ ,  $\chi_{1,2} = 2p_1q_{1,2}$ ;

$$\frac{d\sigma_{\gamma\gamma \rightarrow e^+e^-}}{d\Omega_\gamma} = \frac{\alpha^2}{23} \left\{ \frac{\chi_1}{\chi_2} + \frac{\chi_2}{\chi_1} + 2\left(\frac{\lambda}{M}\right) \left[ \frac{\chi_1^2}{\chi_1 + M^2} + \frac{\chi_2^2}{\chi_2 + M^2} \right] \right\}, \quad (8)$$

где  $q_1 + q_2 = p_1 + p_2$ ,  $\chi_{1,2} = 2p_1q_{1,2}$

$$\frac{d\sigma_{e^+e^- \rightarrow \gamma\gamma}}{d\Omega_\gamma} = \frac{1}{2!} \frac{\alpha^2}{23} \left\{ \frac{\chi_1}{\chi_2} + \frac{\chi_2}{\chi_1} + 2\left(\frac{\lambda}{M}\right)^2 \left[ \frac{\chi_1^2}{\chi_1 + M^2} + \frac{\chi_2^2}{\chi_2 + M^2} \right] \right\}. \quad (9)$$

Из сравнения сечений (6) и (8) видно, что процесс тормозного излучения на большие углы при  $e^+e^-$  столкновении более перспективен в отношении поиска Т.Э., чем двухквантовая аннигиляция  $e^+e^-$  пары в опытах на встречных  $e^+e^-$  пучках.

В заключение мы коснемся методики обработки экспериментальных данных с целью получения информации о константе  $\lambda$  тяжелого электрона в зависимости от его массы в процессе  $e^+e^- \rightarrow e^+e^-\gamma$ . Имея экспериментальное распределение по инвариантной массе пары  $e^-\gamma$ , целесообразно построить гистограмму с шириной канала  $\Delta M$ , по порядку величины равной разрешению детектора. Тогда число событий в  $i$ -м канале равно  $N_i = N_{QED} + N_{T.E.}$ , где  $N_{QED}$  и  $N_{T.E.}$  - вклад обычного тормозного излучения и реакции с рождением Т.Э., рассчитанные теоретически:

$$N_{QED} = \frac{d\sigma_{QED}}{dM} \cdot \Delta M \cdot L \cdot \varepsilon_1, \quad N_{T.E.} = \lambda^2 \tilde{\sigma}_0 \cdot \varepsilon_2$$

$L$  - интеграл светимости,  $\varepsilon_1$ ,  $\varepsilon_2$  - вероятности регистрации всех

конечных частиц из реакций  $e^+e^- \rightarrow e^+e^-\gamma$  и  $e^+e^- \rightarrow e^+e^{\mp}$ ,  $e^{\mp} \rightarrow e^{\mp}\gamma$  соответственно.  $\tilde{\sigma}_0$  - полное сечение реакции, получающееся интегрированием формул (6) по телесному углу детектора ( $\theta > \theta_c$  для всех конечных частиц):

$$\tilde{\sigma}_0 = \frac{2\pi\alpha^2\lambda^2}{M^2} \left\{ (1+\gamma^2) \ln \frac{1+C}{1-C} - \gamma C \left[ 1 + \gamma + \frac{1}{2}\gamma^2 \left( 1 + \frac{1}{3}C^2 \right) \right] \right\},$$

$$\gamma = 1 - \frac{M^2}{s}, \quad C = \cos \theta_c.$$

Отсюда следует  $\lambda^2(M_i) = (N_i - N_{QED}) / L \tilde{\sigma}_0 \varepsilon_2$ . Если спектр масс статистически согласуется с чисто электродинамическим, то ограничив величину случайной флуктуации двумя стандартными ошибками на  $\lambda^2$  можно получить ограничение сверху:  $\lambda^2 < 2\sqrt{N_i} / L \tilde{\sigma}_0 \varepsilon_2$ . Поскольку  $N_{QED}$  а следовательно и  $N_i \sim 1/\varepsilon^2$ , то при заданном интеграле светимости и вероятности регистрации точность ограничения на  $\lambda^2 \sim 1/\varepsilon$ .

Заметим, что ограничение на  $(\lambda/M)$  можно получить из вклада Т.Э. в аномальный магнитный момент электрона  $\mu_e = (\frac{g_e - 2}{2})$

$$\Delta \mu_e^{(T.E.)} \simeq \frac{\alpha}{\pi} \left( \frac{\lambda m_e}{M} \right)^2$$

Принимая во внимание достигнутую в настоящее время точность в измерении  $\mu_e \sim 2 \cdot 10^{-10}$ , получим для  $M = 500 \text{ MeV}$   $\lambda < 0.3$ .

Л и т е р а т у р а :

1. F.E. Low Phys. Rev. Lett. 14, p238(1965)
2. F.A. Berends, R. Gastmans and T.T. Wu Preprint KUL-TF-79/022(B79).
3. Г.И.Гах. Вопросы атомной науки и техники, Харьков, 1976.  
ХФТИ 76-27, вып. I(17)

Работа поступила - 5 февраля 1981 г.

---

Ответственный за выпуск - С.Г.Попов  
Подписано к печати 25.II-1981 г. МН 06II4  
Усл. 0,5 печ.л., 0,4 учетно-изд.л.  
Тираж 150 экз. Бесплатно  
Заказ № 21.

---

Отпечатано на ротапринте ИЯФ СО АН СССР